

琉球大学理工学部 正員 上原方成

1 まえがき 土の締固め方、土を材料として取扱い、その Improvement を最終目的としていることは周知の通りである。Proctor 以来数多くの締固めに關する研究報告がなされているが、土の締固まりの現象的なものと、締固め効果の評価に、多くの努力がなされてきたようだ。一方、実験室内の実験や試験結果と現場の締固め効果との間に、直接的なつながりがないにもかかわらず、それをすべてのようなく感づ深い。土の締固まり方に影響を与える要因として、その方式、方法等外的要因と土の種類・性状などの内的要因がある。筆者は先に、JIS型動的、Harvard Min.型半動的、Compression型静的の三締固め方式を用いた土の種類による締固まり性状につれて、一報告したが、土の締固まり方に関連して、諸器械の発達につれて締固められた土の構造面の取扱いが注目を浴びている昨今、より基礎的立向題解明のため臨床例の積み重ねが必要であるように思う。

2 試験方法および結果 試料は、レキ質土から粘性土までの4種の土を用いたが、その粒度組成を図1に示す。ただし、泥岩土は固い土塊を人為粉碎して準備したもので、5mm以下、2mm以下と言つても、常に同一分布を示すとは限らない。初期含水比は気乾状態とし、締固め方法は前回同様であり、結果と共に図2～4に示す。また、各土の締固まり方を考慮するため、JISで密固めた土につけて、即座に、先端角30°底面積6.45cm²のコーンを1cm/secで貫入して、5cm深さにおける最大抵抗値を求め、その特殊剤を図5～8に示す。

3 旗討 P.Y.Lee S

は、動的方式による700
他の資料から種々の不規
則な締固め曲線を得ら
たことを報告し、一応4
つ型に大別した。こゝでは、
締固めエネルギーを
各々一定にして、代表的
な粒度分布をもつての締
固まり方を比較したが、
図2から、標準密固め試
験による時、土の反応は
必ずしも典型的1peak
curveを示さず、粗粒
土と細粒土とは、締固
まり方、したがって、締固
められた土の構造にちがいを

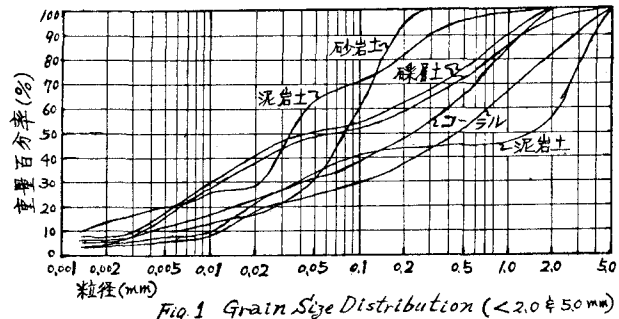
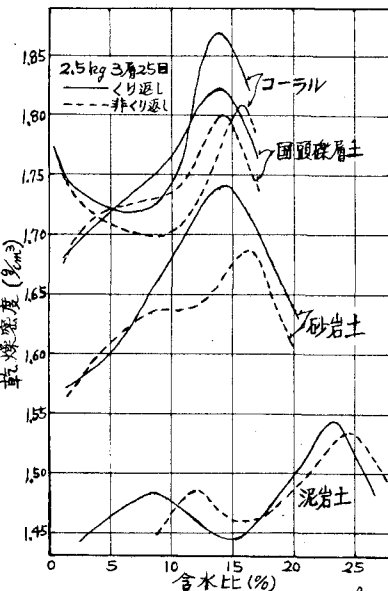
Fig. 1 Grain Size Distribution ($< 2.0 \text{ to } 5.0 \text{ mm}$)

Fig. 2 Compaction curve of each soil by means of J/S type

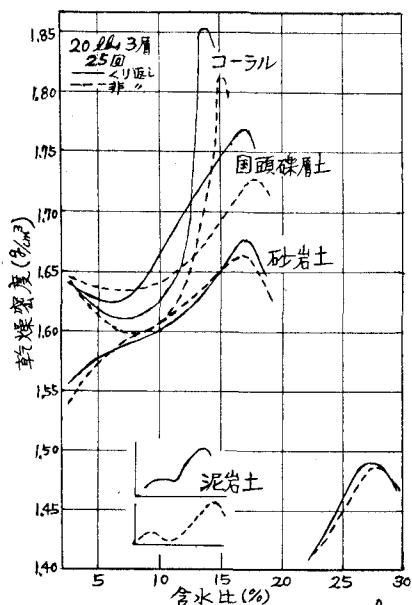


Fig. 3 Compaction curve of each soil by means of Harvard Min.

考へざるをえない。この場合、後述のコーン貫入試験結果からもわかるようく、 $\text{OMC} - \gamma_{\text{dmax}}$ の判定には、慎重な取扱いを要する。図3からは、動的方式と kneading type とは、ほぼ类似の締固まり方が差々され、現場締固め方式との対比は別として、締固め土の特性検討に用ひる供試体作製等には、この方式によつても許容土水よう。たゞ、両方式のランで一重とモールド重とを比較すると、ことなど、微妙な土粒子配置、締固まり構造にフリーカーは検討の要ある。図4で、静的方式における土の締固まり方か、均等圧下り全面セメント走によつて不完全配向構造と前二者の局部的セメント走によつて局部的配向構造とのちがいが、如実に表現され、また、粗粒土における高含水状態の水分移動(排水)における影響をもつたものであることがわかる。これらのことから、現場締固め方法と関連させて、締固められた土の構造判定に用ひる手段の選択につけては、検討の必要がある。なお、赤井・報文及森の報告にからつて検討してみると、密度分布と γ_{dmax} との関係は図6にみられるように、何れも締固め方式によつても、適度な密度分布があることがうかがわれ、また、図6によると、 $\gamma_{\text{dmax}} - \text{OMC}$ との関係に、土の種類、くり返し非くり返し別なく、各締固め方式によつて多少のちがいはあるかも、一定の関係を見出される。これから、エネルギーの大小を別にすれば、密度組成したつて土粒子の詰まり方(構造)を締固まりにウエイトをもつて考慮せらる。

一方、締固まり方に関連して、今回は JIS 方式とコーン貫入試験結果から、粘性土とレキ質土は、別に算者を行つた一軸圧縮試験結果と比較して、大きく異なつており、また、松尾・宋らの報告(静的締固め)と図2を比較して今後の課題とした。すなはち、他に二種土は、 $\gamma_{\text{d}} - W$ 曲線とほゞ类似の関係を示した。土の締固まり構造にフリーカー、左より一層の基礎的検討が必要である。

謝辞 村井浩一(1959), 森満雄(1962), 松尾宋・中村(1971), 松尾宋(1971), P.Y. Lee S(1972)諸氏の報文に負う所が多いので謝意を表します。

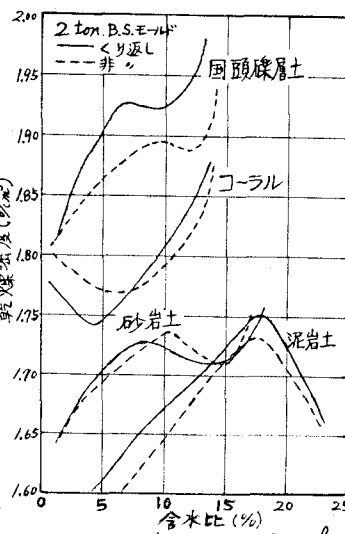


Fig. 4 Compaction curve of each soil by means of Static type

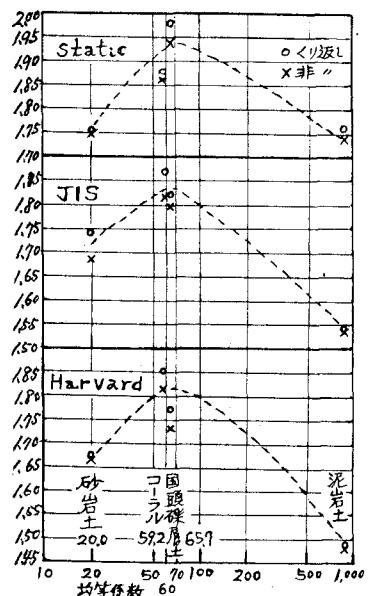


Fig. 5 Relation between uniformity coefficient and max. dry density

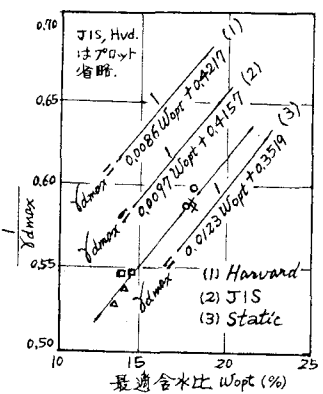


Fig. 6 Relation between γ_{dmax} and OMC for each compaction apparatus

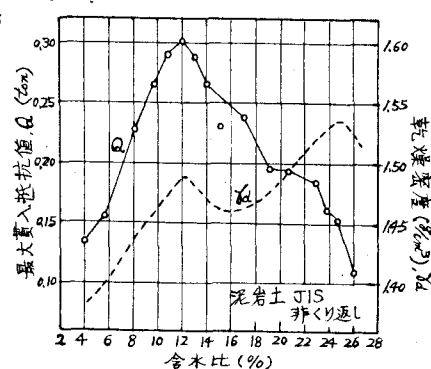


Fig. 7 Laboratory cone penetration resistance of compacted Shimajiri clay

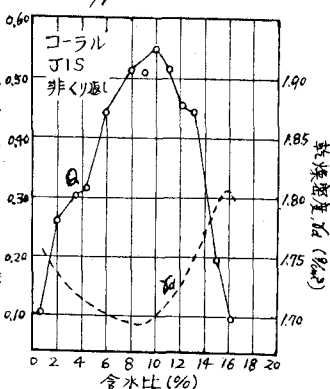


Fig. 8 Laboratory cone penetration resistance of compacted coral reef rocks